

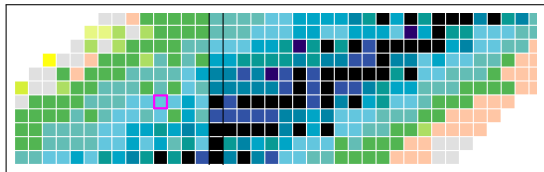
^{140}Sm — wyzwania dla teorii

Leszek Próchniak



- ▶ Krótko o ^{140}Sm
- ▶ Teoria — nieco obszerniej
 - ▶ Wzbudzenia kolektywne związane z deformacją rozkładu materii
MF \rightarrow ATDHFB \rightarrow GBH
 - ▶ Przykłady zastosowań
 - ▶ ^{140}Sm
 - ▶ Mniej typowe potraktowanie pairingu
- ▶ Uwagi końcowe

$^{140}\text{Sm}_{78}$, $T_{1/2} = 14.82$ min, N. Nica, Nucl. Data Sheets **154** (2018), 1.



F. L. B. Garrote, A. Gorgen, J. Mierzejewski, C. Mihai, J. P. Delaroche, M. Girod, et al. **Lifetime measurement for the 2^+_{1} state in ^{140}Sm and the onset of collectivity in neutron-deficient Sm isotopes**. Phys. Rev. C **92** (2015), 024317.

RDDS, ŚLCJ

J. Samorajczyk, M. Klintefjord, C. Droste, A. Gorgen, T. Marchlewski, et al. **Revised spin values of the 991 keV and 1599 keV levels in ^{140}Sm** . Phys. Rev. C **92** (2015), 044322.

korelacje $\gamma - \gamma$, ŚLCJ

M. Klintefjord, K. Hadyńska-Klęk, A. Gorgen, C. Bauer, F. L. B. Garrote, et al. **Structure of low-lying states in ^{140}Sm studied by Coulomb excitation**. Phys. Rev. C **93** (2016), 054303.

Coulex, REX-ISOLDE

Low spin levels in ^{140}Sm — five 0^+ states and the question of softness against nonaxial deformation

J. Samorajczyk-Pyśk,¹ Ch. Droste,² L. Próchniak,¹ J. Srebrny,¹ S.G. Rohoziński,²
J. Andrzejewski,³ S. Dutt,⁴ A. Gawlik,³ K. Hadyńska-Klejek,^{1,5} E. Janiak,⁶ M. Klintefjord,⁵
M. Kowalczyk,¹ J. Kowalska,¹ R. Kumar,⁷ T. Marchlewski,¹ P.J. Napiorkowski,¹ J. Perkowski,³
W. Piątek,^{8,1} M. Piersa,² T. Rogiński,² M. Saxena,^{9,10} A. Stolarz,¹ and A. Tucholski¹

¹Heavy Ion Laboratory, University of Warsaw, Poland

²Faculty of Physics, University of Warsaw, PL 02-093 Warsaw, Poland

³Faculty of Physics and Applied Computer Science, University of Lodz, Poland

⁴Department of Physics, Aligarh Muslim University, Aligarh, India

⁵Department of Physics, University of Oslo, NO-0316 Oslo, Norway

⁶National Centre for Nuclear Research, Świerk, Poland

⁷Inter University Accelerator Centre, New Delhi, India

⁸Flerov Laboratory of Nuclear Reactions, JINR, 141980 Dubna, Russia

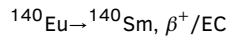
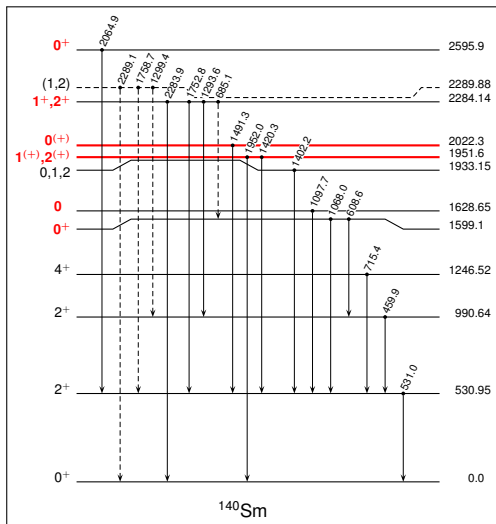
⁹Department of Physics and Astrophysics, University of Delhi, New Delhi, India

¹⁰Department of Physics and Astronomy, Ohio University, Athens, Ohio, USA

Korelacje kątowe $\gamma - \gamma$, ŚLCJ

Coulex, ISOLDE IS558

^{140}Sm eksperyment, cd.



Wzbudzenia kolektywne związane ze zmianami (deformacją) rozkładu materii

- ▶ MF (średnie pole) $\rightarrow X \rightarrow$ hamiltonian kolektywny
 1. $X=ATDHFB$ (Adiabatic Time Dependent HFB)
 2. $X=GCM+GOA$ (Generator Coordinate Method plus Gaussian Overlap Approximation)
- ▶ Alternatywne podejście — bez hamiltonianu kolektywnego, GCM.

Rzutowanie na stany własne operatorów liczby cząstek, momentu pędu, następnie rozwiązywanie równania Hilla-Wheelera z odpowiednimi współrzędnymi generującymi (np. β, γ). Możliwe dalsze rozszerzenia np SCCM (Symmetry Conserving Configuration Mixing).

J.L. Egido, Phys.Scr. **91**, 073003 (2016);
L.M. Robledo, T.R. Rodriguez, R.R. Rodriguez-Guzman, J. Phys. G **46** (2019) 013001 (124pp)
- ▶ Różne nazwy w przypadku zmiennych kwadrupolowych:
 - general Bohr Hamiltonian (GBH)
 - five-dimensional collective Hamiltonian (5DCH)
 - beyond mean-field approach (BMF)
- ▶ Różne pola zastosowań
- ▶ Długa historia (także w Polsce — Warszawa, Lublin)

1. Hamiltonian „mikroskopowy”

$$\hat{H}_{\text{micr}} = \sum_{\mu, \nu} K_{\mu\nu} d_{\mu}^{\dagger} d_{\nu} + \frac{1}{4} \sum_{\mu, \nu, \alpha, \beta} \tilde{V}_{\mu\nu\alpha\beta} d_{\mu}^{\dagger} d_{\nu}^{\dagger} d_{\beta} d_{\alpha}$$

2. Metoda wariacyjna. Stany iloczynowe jako funkcje próbne.

$$A_{\mu} \Psi = 0$$

$$A_{\mu}^{\dagger} = \sum_{\nu} U_{\nu\mu} d_{\nu}^{\dagger} + \sum_{\nu} V_{\nu\mu} d_{\nu} = u_{\mu} c_{\mu}^{\dagger} + s_{\mu}^* v_{\bar{\mu}} c_{\bar{\mu}}$$

Stany typu BCS

$$\Psi_{\text{BCS}} = \prod_{\mu>0} (u_{\mu} + s_{\mu} v_{\bar{\mu}} c_{\bar{\mu}}^{\dagger} c_{\mu}^{\dagger}) |0\rangle$$

Macierz (operator) gęstości

$$\mathcal{R} = \begin{pmatrix} \rho & \kappa \\ -\kappa^* & 1 - \rho^* \end{pmatrix} = \begin{pmatrix} \langle \Psi | d_{\nu}^{\dagger} d_{\mu} | \Psi \rangle & \langle \Psi | d_{\nu} d_{\mu} | \Psi \rangle \\ \langle \Psi | d_{\nu}^{\dagger} d_{\mu}^{\dagger} | \Psi \rangle & \langle \Psi | d_{\nu} d_{\mu}^{\dagger} | \Psi \rangle \end{pmatrix}$$

Baza kanoniczna

$$\rho_{\mu\nu} = v_{\mu}^2 \delta_{\mu\nu} \quad \kappa_{\mu\nu} = s_{\bar{\mu}} u_{\mu} v_{\mu} \delta_{\bar{\mu}\nu}$$

3. Wynik: stany jednocząstkowe w uśrednionym potencjale plus liczby obsadzeń.

1. HFB

$$[\mathcal{W}(\mathcal{R}), \mathcal{R}] = 0$$

$$\mathcal{W}(\mathcal{R}) = \begin{pmatrix} K + \Gamma - \lambda I & \Delta \\ -\Delta^* & -K^* - \Gamma^* + \lambda I \end{pmatrix}$$

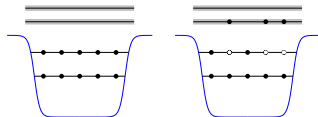
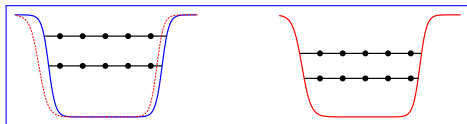
$$\Gamma_{\mu\nu} = \sum_{\mu', \nu'} \tilde{V}_{\mu\mu'\nu\nu'} \rho_{\nu'\mu'} = \frac{\partial}{\partial \rho_{\mu\nu}} E[\mathcal{R}]$$

$$\Delta_{\mu\nu} = \frac{1}{2} \sum_{\mu', \nu'} \tilde{V}_{\mu\nu\mu'\nu'} \kappa_{\mu'\nu'} = \frac{\partial}{\partial \kappa_{\mu\nu}} E[\mathcal{R}]$$

2. Time dependent HFB

$$i\hbar \dot{\mathcal{R}} = [\mathcal{W}(\mathcal{R}), \mathcal{R}]$$

3. Przybliżenie adiabatyczne



Współrzędne kolektywne \mathbf{q} . $\mathcal{R}(t) = \mathcal{R}(\mathbf{q}(t))$, $\Psi(t) = \Psi(\mathbf{q}(t))$

$$\langle \Psi | H_{\text{micr}} | \Psi \rangle = T_{\text{cl}} + V_{\text{cl}}$$

$$V_{\text{cl}} = \langle \Psi_0(\mathbf{q}) | H_{\text{micr}} | \Psi_0(\mathbf{q}) \rangle$$

$$T_{\text{cl}} = \frac{1}{2} \sum_{k,j} B_{kj}(\mathbf{q}) \dot{q}_k \dot{q}_j$$

Parametry masowe (funkcje inercyjne) $B_{kj}(\mathbf{q})$

Przybliżenie „cranking” (*)

$$B_{kj} = \frac{\hbar^2}{2} \sum_{\mu,\nu} \frac{f_{j,\mu\nu} f_{k,\mu\nu}^* + f_{j,\mu\nu}^* f_{k,\mu\nu}}{(E_\mu + E_\nu)} .$$

$$f_{k,\mu\nu} = \langle \Psi_0 | A_\nu A_\mu | \partial_k \Psi_0 \rangle$$

$$\begin{pmatrix} 0 & f_k \\ -f_k^* & 0 \end{pmatrix} = \begin{pmatrix} \partial \mathcal{R}_0 \\ \partial q_k \end{pmatrix}_{\text{qp basis}}$$

$$\alpha_\mu \sim \langle \Psi | Q_{2\mu} | \Psi \rangle, \quad Q_{2\mu} \sim \sum_i r_i^2 Y_{2\mu}(\theta_i, \phi_i), \quad \mu = -2, \dots, 2$$

Układ wewnętrzny ($\alpha_2 = \alpha_{-2}, \alpha_{\pm 1} = 0$). $\alpha_\mu \rightarrow (\beta, \gamma, \Omega)$

$$\beta \cos \gamma = c q_0 = c \langle \Psi | Q_0 | \Psi \rangle = c \langle \Psi | \sum_{i=1}^A (3z_i^2 - r_i^2) | \Psi \rangle$$

$$\beta \sin \gamma = c q_2 = c \langle \Psi | Q_2 | \Psi \rangle = c \langle \Psi | \sum_{i=1}^A \sqrt{3}(x_i^2 - y_i^2) | \Psi \rangle$$

$$c = \sqrt{5\pi/5}/3AR_0^2 \quad R_0 = r_0 A^{1/3}, \quad r_0 = 1.2 \text{ fm}$$

Skąd $\Psi(\beta, \gamma)$?

$$\delta \langle \Psi | H_{\text{micr}} - \lambda_0 Q_0 - \lambda_2 Q_2 | \Psi \rangle = 0, \quad \langle \Psi | Q_0 | \Psi \rangle = q_0, \quad \langle \Psi | Q_2 | \Psi \rangle = q_2$$

Typowe obliczenia: ok. 150–200 punktów w obszarze $0 \leq \beta \leq \beta_{\text{max}}, 0 \leq \gamma \leq 60^\circ$.

- ▶ Przybliżenie BCS

$$B_{q_i q_j} = (S_{(1)}^{-1} S_{(3)} S_{(1)}^{-1})_{ij}, \quad (S_{(n)})_{ij} = \sum_{\alpha, \beta} \frac{\langle \alpha | Q_i | \bar{\beta} \rangle \langle \bar{\beta} | Q_j | \alpha \rangle}{(E_\alpha + E_\beta)^n} (u_\alpha v_\beta + u_\beta v_\alpha)^2$$

$$I_k = \sum_{\mu, \nu} \frac{|\langle \nu | J_k | \bar{\mu} \rangle|^2 (u_\mu v_\nu - u_\nu v_\mu)^2}{(E_\mu + E_\nu)}$$

- ▶ $B_{q_i q_j} \rightarrow B_{\beta\beta}, B_{\beta\gamma}, B_{\gamma\gamma}$
- ▶ $B(\beta, \gamma), I_k(\beta, \gamma)$
- ▶ „Uśrednienie” własności jednocząstkowych (*)

Uogólniony Hamiltonian Bohra (GBH, 5CDH)

$$H_{\text{Bohr}} = T_{\text{vib}} + T_{\text{rot}} + V$$

$$T_{\text{vib}} = -\frac{1}{2\sqrt{wr}} \left\{ \frac{1}{\beta^4} \left[\partial_{\beta} \left(\beta^4 \sqrt{\frac{r}{w}} B_{\gamma\gamma} \right) \partial_{\beta} - \partial_{\beta} \left(\beta^3 \sqrt{\frac{r}{w}} B_{\beta\gamma} \right) \partial_{\gamma} \right] + \right. \\ \left. + \frac{1}{\beta \sin 3\gamma} \left[-\partial_{\gamma} \left(\sqrt{\frac{r}{w}} \sin 3\gamma B_{\beta\gamma} \right) \partial_{\beta} + \frac{1}{\beta} \partial_{\gamma} \left(\sqrt{\frac{r}{w}} \sin 3\gamma B_{\beta\beta} \right) \partial_{\gamma} \right] \right\}$$

$$T_{\text{rot}} = \frac{1}{2} \sum_{k=1}^3 L_k^2(\Omega) / I_k; \quad I_k = 4B_k(\beta, \gamma) \beta^2 \sin^2(\gamma - 2\pi k/3)$$

$$w = B_{\beta\beta} B_{\gamma\gamma} - B_{\beta\gamma}^2; \quad r = B_x B_y B_z$$

Poziomy energetyczne, $B(E2)$, ...

Brak swobodnych parametrów (*)

- ▶ Stały parametr masowy, $B_{\beta\beta} = B_{\gamma\gamma} = B_k = B$, $B_{\beta\gamma} = 0$
- ▶ Różne potencjały $V(\beta, \gamma)$
- ▶ SKE (Simple Kinetic Energy)

$$T_{\text{vib}} = -\frac{1}{2B} \left(\frac{1}{\beta^4} \partial_\beta \beta^4 \partial_\beta + \frac{1}{\beta^2 \sin \gamma} \partial_\gamma \sin \gamma \partial_\gamma \right)$$

- ▶ Obszerna literatura

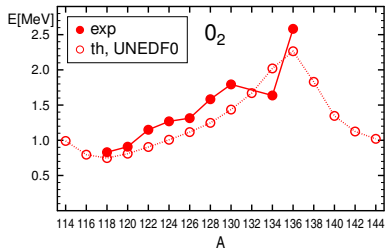
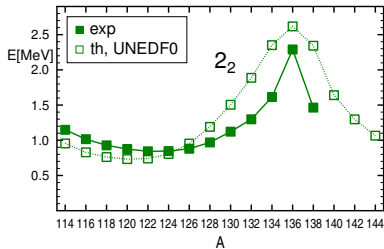
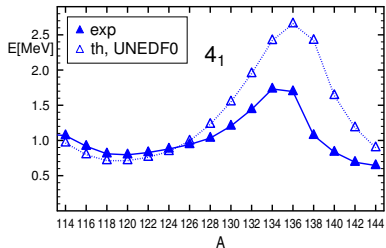
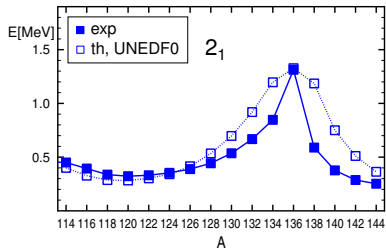
Średnie pole

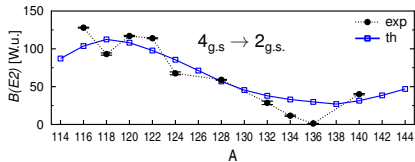
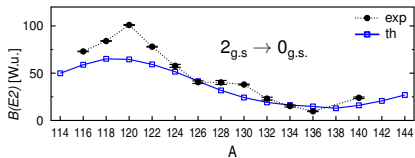
- ▶ Oddziaływania Skyrme'a i funkcjonały gęstości
- ▶ Oddziaływania Gogny
- ▶ Relatywistyczne Średnie Pole (RMF)

Pairing (*)

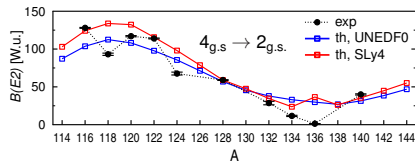
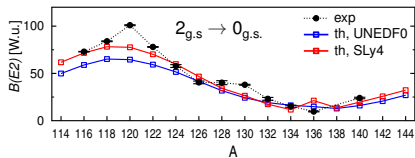
- ▶ Stała G (seniority force) $G \sum_k d_k^+ d_{\bar{k}}^+ d_k d_{\bar{k}}$
- ▶ oddziaływanie typu δ (pairing zależny od konfiguracji):
 $V_0 \delta(\mathbf{r} - \mathbf{r}')$,
 $V_0(\rho(\mathbf{r})) \delta(\mathbf{r} - \mathbf{r}')$, np. $V_0(\rho) = 1 - \rho(\mathbf{r})/\rho_0$
- ▶ Gauss $\grave{a} la$ Gogny
- ▶ Tylko pairing p-p i n-n

Przykład $^{114-144}\text{Xe}$. Selected energy levels





Porównanie z wynikami dla SLy4



^{140}Sm , wyniki etap 1

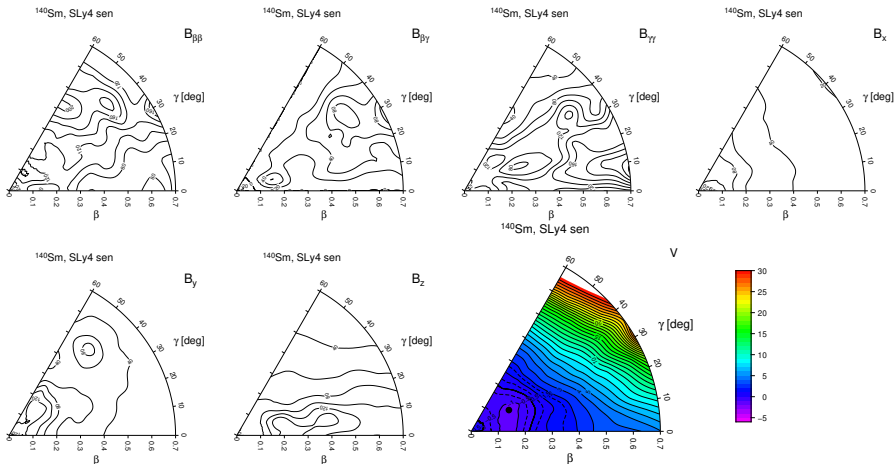
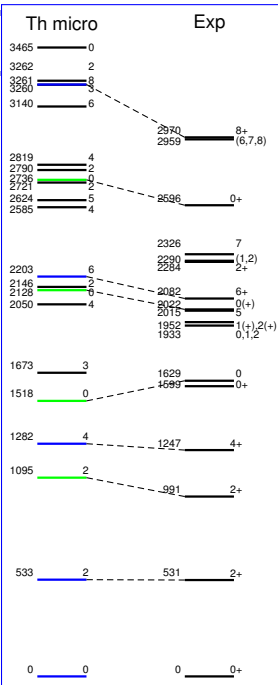
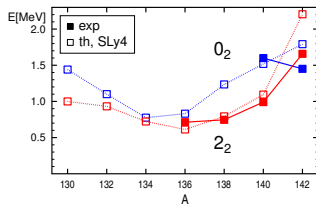
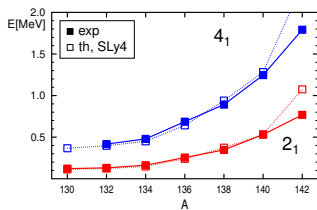


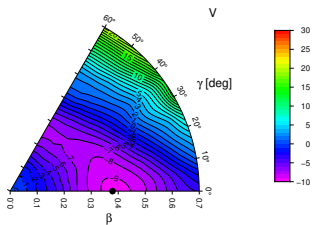
TABLE III. Experimental [11] and theoretical (see Section III) $E2$ transition probabilities in ^{140}Sm together with the spectroscopic quadrupole moment for the 2_1^+ state.

Transition	$B(E2)$ [$e^2\text{b}^2$]		
	Exp [11]	Th phen	Th micro
$2_1^+ \rightarrow 0_{g.s.}^+$	0.23 ± 0.02	0.238	0.221
$4_1^+ \rightarrow 2_1^+$	0.30 ± 0.02	0.403	0.362
$2_2^+ \rightarrow 2_1^+$	0.35 ± 0.05	0.403	0.335
$2_2^+ \rightarrow 0_{g.s.}^+$	< 0.001	0.0003	0.0003
		Q_s [eb]	
2_1^+	$-0.06^{+0.41}_{-0.15}$	-0.035	-0.26

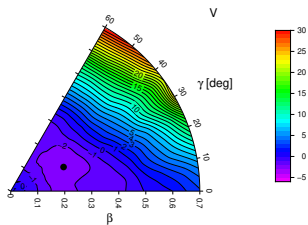




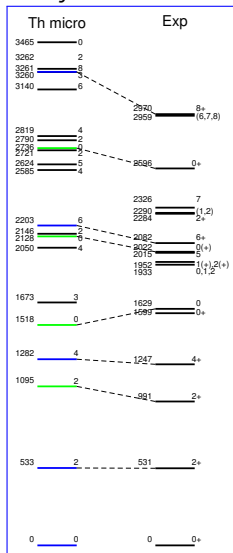
^{132}Sm , SLy4 sen



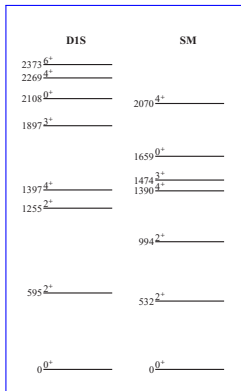
^{138}Sm , SLy4 sen



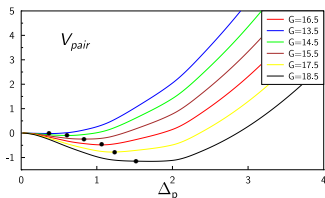
Skąd stany 0^+ ?



PRC 93 (2016), 054303



Izotony z $N = 78$.
6 stanów 0 poniżej
3 MeV w ^{134}Ba



Zmienne kolektywne dla pairingu

1. Δ , ϕ

$$\prod_{\mu>0} (u_{\mu}(\Delta) + s_{\mu} v_{\bar{\mu}}(\Delta) e^{2i\phi} c_{\bar{\mu}}^{\dagger} c_{\mu}^{\dagger} | \Phi \rangle)$$

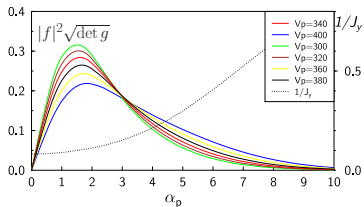
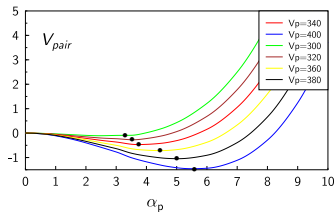
2. Bardziej ogólnie, np. dla ddziaływania δ : α , ϕ

$$\alpha = \sum_{\mu>0} u_{\mu} v_{\mu} = \langle P \rangle; \quad P = \frac{1}{2} (\sum_{\mu>0} e^{-2i\phi} s_{\bar{\mu}} c_{\mu}^{\dagger} c_{\bar{\mu}}^{\dagger} + hc)$$

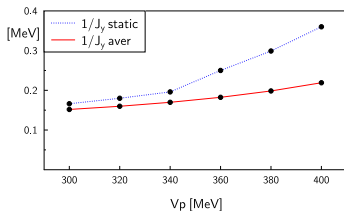
Hamiltonian kolektywny dla pairingu

^{128}Xe , SLy4, δ pairing, $\beta = 0.2$, $\gamma = 18^\circ$

Potencjał, rozkład prawdopodobieństwa



Wpływ na parametry masowe (przykład: moment bezwładności)



9 zmiennych, efektywnie 7: $\beta, \gamma, \Omega, \Delta_p, \Delta_n$

Macierz parametrów masowych:

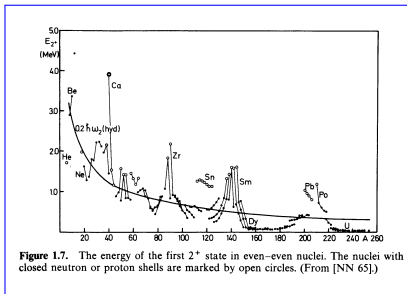
$$B = \begin{pmatrix} (B_{\text{rot}}) & 0 & 0 \\ 0 & (B_{\text{vib}}) & 0 \\ 0 & 0 & (B_{\text{rotpair}}) \end{pmatrix},$$
$$B_{\text{vib}} = \begin{pmatrix} B_{\beta\beta} & B_{\beta\gamma} & B_{\beta\Delta_p} & B_{\beta\Delta_n} \\ B_{\gamma\beta} & B_{\gamma\gamma} & B_{\gamma\Delta_p} & B_{\gamma\Delta_n} \\ B_{\Delta_p\beta} & B_{\Delta_p\gamma} & B_{\Delta_p\Delta_p} & B_{\Delta_p\Delta_n} \\ B_{\Delta_n\beta} & B_{\Delta_n\gamma} & B_{\Delta_n\Delta_p} & B_{\Delta_n\Delta_n} \end{pmatrix}$$

Pierwsze przybliżenie

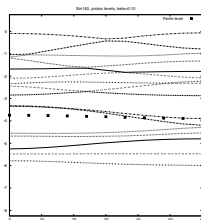
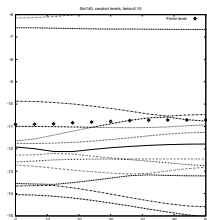
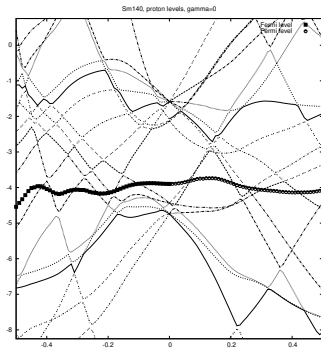
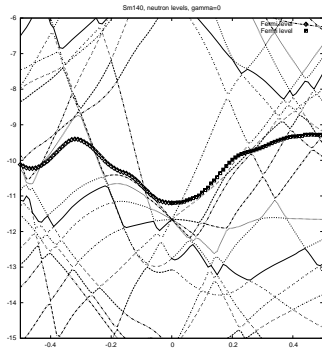
$$\langle 1/J_k(\beta, \gamma) \rangle_{\text{av}} = \int 1/J_k(\beta, \gamma, \Delta_n, \Delta_p) |f_{0,p}|^2 |f_{0,n}|^2 \sqrt{g_p} \sqrt{g_n} d\Delta_p d\Delta_n$$

- ▶ Metoda MF-ATDHFB-GBH dobrze opisuje kwadrupolowe wzbudzenia kolektywne w szerokim zakresie jąder atomowych
- ▶ Wyzwania
 - ▶ Analiza wpływu przybliżeń, wyboru modeli średniego pola, ..., na wyniki
 - ▶ Czy potrzebne są inne (dodatkowe) współrzędne, np. „pairingowe”
 - ▶ Jak opisać zjawiska, w których wyraźnie widać wpływ jednocząstkowych stopni swobody
- ▶ Stany 0^+ — interesujący poligon dla teorii

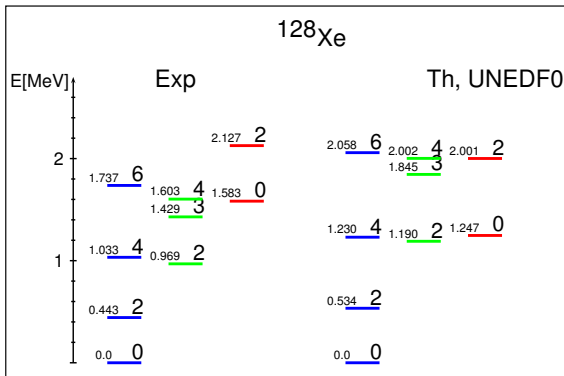
P. Ring & P. Schuck, *Nuclear Many-Body Problem*, 1980, p. 16.



Stany jądrowe w ^{140}Sm



Poziomy o dodatniej parzystości w ^{128}Xe



^{128}Xe . E2 transition probabilities

J_i	J_f	Exp 1	Exp 2	Exp 3	Th, UNEDF0
2 ₁	0 ₁	47 (5)	42.6 (64)	40.2 (21)	31.8
2 ₂	2 ₁	49 (5)	50.1 (97)	48 (5)	41.6
2 ₂	0 ₁	0.63 (5)	0.65 (8)	0.64 (6)	0.35
4 ₁	2 ₁	60 (6)	63.5 (52)	59 (5)	57.0
3 ₁	4 ₁		31.8 (59)		17.9
3 ₁	2 ₂		91 (16)		53.2
3 ₁	2 ₁		1.45 (26)		0.75
0 ₂	2 ₂		52.8 (76)		4.6
0 ₂	2 ₁		3.69 (58)		39.4
4 ₂	4 ₁	30 (3)	30.2 (32)		26.4
4 ₂	2 ₂	31 (5)	29.6 (29)		36.6
4 ₂	2 ₁	0.52 (4)	0.52 (6)		0.01
6 ₁	4 ₁	79 (7)	106 (13)	78 (7)	77.4
0 ₃	2 ₂		22.2 (46)		12.3
0 ₃	2 ₁		10.4 (23)		0.04
2 ₃	2 ₁		0.035(54)		0.3
8 ₁	6 ₁	97 (10)			96.0
10 ₁	8 ₁	110 (31)			114.0
6 ₂	4 ₂	97 (10)			62.7
6 ₂	6 ₁	8 (5)			21.9
6 ₂	4 ₁	3 (1)			0.02
4 ₁	2 ₂	4 (1)			0.1

^{140}Sm . Funkcje kolektywne

